

رفتار غیرخطی پل‌های مورب بزرگراهی در زمین‌لرزه‌های بزرگ (مطالعه‌ی موردی پل مورب فوت‌هیل در زمین‌لرزه‌ی ۹ فوریه ۱۹۷۱ سان‌فرناندو)

افشین کلانتری (استادیار)

محسن امجدیان (دانشجوی کارشناسی ارشد)
پژوهشگاه بین‌المللی زلزله‌شناسی و مهندسی زلزله

پل‌های مورب به دلیل وضعیت هندسی ویژه، در زمان وقوع زمین‌لرزه رفتار پیچیده‌یی از خود بروز می‌دهند. پاسخ‌های هم‌بسته‌ی چرخشی و انتقالی عرشه در این پل‌ها، به همراه در دسترس نبودن یا پرهزینه بودن استفاده از نرم‌افزارهای مناسب تحلیل پویای غیرخطی، تعیین عوامل خرابی و نقاط ضعف احتمالی این پل‌ها را با دشواری مواجه می‌سازد. مشاهده خرابی این پل‌ها در زمین‌لرزه‌های گذشته حاکی از رفتار خاص و متفاوت شان از پل‌های مستقیم است. از این رو محققین مختلفی طی چند دهه‌ی گذشته رفتار لرزه‌یی این نوع پل‌ها را مورد بررسی قرار داده‌اند. هدف این مطالعه تحلیل پویای غیرخطی یک پل مورب و تحقیق درمورد عوامل خرابی آن است. از این رو پس از بررسی‌های اولیه، رفتار لرزه‌یی غیرخطی پل مورب بن مسلح فوت‌هیل (Foothill) برای نمونه با مدل سازی پویای سه‌بعدی آن در نرم‌افزار المان محدود OpenSees مورد بررسی قرار گرفته و تحلیل پویای تاریخچه زمانی غیرخطی تحت اثر سه مؤلفه‌ی طولی، عرضی و قائم زمین‌لرزه روی آن انجام می‌شود. نتایج به دست آمده برای این پل مورب با پل مستقیم متناظر آن مقایسه شده و نیز نمونه‌هایی از مسخره‌های تاریخچه زمانی پاسخ این دو نوع پل ارائه شده است. همچنین پیشنهاد نیروی محوری، برشی و لنگر خمشی و پیچشی پای سطون‌های پایه‌ها در این دو پل مورد ارزیابی و بررسی قرار می‌گیرد. نتایج عددی حاصله نشان‌گر تأثیر قابل توجه تورب پایه‌ها در نمودی پاسخ لرزه‌یی پل مورب فوت‌هیل و کاهش ظرفیت بازیگرد آن بر اثر عملکرد توانمند نیروی محوری و لنگر پیچشی روی سطون‌های بحرانی است.

a.kalantari@jjees.ac.ir
m.amjadian@jjees.ac.ir

واژگان کلیدی: پل مورب، تحلیل غیرخطی، تقاضای لرزه‌یی.

۱. مقدمه

۱.۱. بیان مسئله

خسارت واردہ به پل‌ها در زمین‌لرزه‌های گذشته — مانند زمین‌لرزه‌های سان‌فرناندو، نورتربیج و لومابریتا در آمریکا و نیز زمین‌لرزه‌ی کوبه در ژاپن — ضمن اینات آسیب‌پذیری بیش از پیش این نوع سازه‌ها، بر ضرورت به روزرسانی آینه‌های طراحی لرزه‌یی پل‌ها تأکید دارد.^[۱] بر این اساس، محققین سیاری رفتار و نمودی پاسخ لرزه‌یی پل‌ها را، به عنوان یکی از ارکان مهم شرایط‌های حیاتی، مورد مطالعه قرار داده‌اند. با گذشت بیش از چند دهه از مطالعات انجام شده پیرامون اثر زمین‌لرزه بر پل‌ها، همچنان نکات مبهمی در رفتار این نوع سازها وجود دارد که مشخصاً در آینه‌های به آنها اشاره‌یی نشده است: نظیر «تأثیر راستای اثر مؤلفه‌های زمین‌لرزه بر پل‌ها و شرایط خاص هندسی شان مانند پل‌های مورب یا پل‌های دارای احتنا در پلان» اشاره کرد. در این میان پل‌های مورب بزرگراهی به دلیل شرایط خاص هندسی

۲.۱. پیشنهاد مطالعات صورت‌گرفته

در سال ۱۹۷۴ با استفاده از مدل تیری که اتصالش در دو انتهای پایه‌های کناری گیرند و به همین دلیل، مطالعه‌ی رفتار لرزه‌ی سان‌فرناندو آنها از اهمیت خاصی برخوردار است.

در سال ۱۹۸۷، خرابی پل‌های کالیفرنیا در زمین‌لرزه‌ی سان‌فرناندو (۹ فوریه ۱۹۸۷) در حد گسیخته شده‌اند.^[۲]

تاریخ: دریافت ۲۹، ۱۳۸۷/۷/۲۹، اصلاحیه ۱۱، ۱۳۸۸/۱۲/۱۱، پذیرش ۱۹، ۱۳۸۹/۲/۱۹

که در آن عرضه با دو تیر طولی به فاصله‌ی معین از هم مدل‌سازی می‌شود. برای بررسی صحبت و کارآمدی مدل ارائه شده، این مدل در کنار مدل دقیق‌تری که در آن عرضه با المان‌های پوسته و به صورت کشسان مدل شده، برای مدل‌سازی رفتار لرزه‌ی پل مورب فوت‌هیل در زمین‌لرزه‌ی سان‌فرناندو به‌کار برده شد و تحلیل طیفی تحت اثر مؤلفه‌ی طولی و عرضی انجام شد. نتایج حاصل از این تحلیل و تحلیل ارتعاش آزاد حاکی از تطابق خوب پاسخ‌های دو مدل بود. از این رو به‌دلیل سادگی و کارآمدی، مدل میله‌ی دو تیر و سیله‌ی مناسب برای تحلیل اولیه و ارزیابی پاسخ‌های لرزه‌ی پل‌های مورب معروفی شد.^[۱]

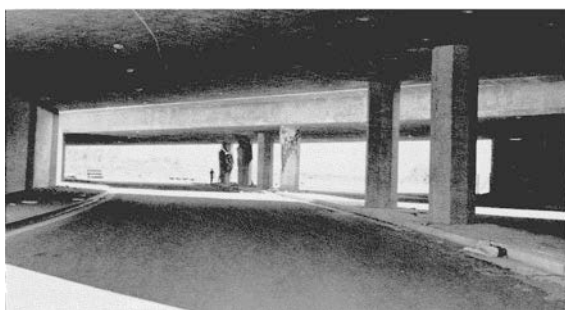
در سال ۲۰۰۴ مدل یک پل مورب با استفاده از مطالعه‌ی آزمایشگاهی مورد بررسی قرار گرفت و پارامترهای ایستا و پویای (فرکانس‌های ارتعاشی- مود شکل‌ها- میله‌ی) پل مذکور تعیین شد.^[۲] برای اطمینان از صحبت نتایج به دست آمده، پاسخ‌ها با مدل‌های اجزاء محدود مقایسه شد و سازگاری مدل‌های مورد نظر از نظر رفتاری با مدل آزمایشگاهی تأیید شد.

۱.۳. هدف مطالعه

هدف این مطالعه مدل‌سازی عددی رفتار لرزه‌ی غیرخطی پل‌های مورب به‌کمک نرم‌افزار OpenSees (سیستم باز برای شیوه‌سازی مهندسی زلزله^۳) و شناسایی پارامترهای مهم و تأثیرگذار در رفتار لرزه‌ی این نوع از پل‌ها و حساسیت پاسخ پل به آنهاست. در این مطالعه، مدل‌سازی و به‌کارگیری فرضیات ساده‌کننده در ساده‌سازی عضوهای پیچیده مدل نظر قرار گرفته است. در بخشی از تحقیق، نتایج عددی برای تأیید مدل با نتایج سایر مطالعات مقایسه و ارائه شده‌اند. در این مدل‌سازی، یک پل مورب^۴ که رفتار آن در زمین‌لرزه‌ی سان‌فرناندو (۱۹۷۱) مشاهده شده به عنوان نمونه به‌کار گرفته شده است. با توجه به نحوه پاسخ این پل، در مقایسه با پل مستقیم^۵ مستناظر، رفتار پویا و شرایط خاص پل مورب در نتایج عددی مورد بررسی قرار گرفت و در نهایت برایه‌ی نتایج عددی حاصله دلایلی برای خرابی پیشنهاد شده است. در مطالعات انجام شده‌ی قبلی پیرامون این پل، به تأثیر رفتار غیرخطی پل تحت اثر هم‌زمان سه مؤلفه‌ی زمین‌لرزه و نیز به پاسخ غیرخطی ستون‌ها توجهی نشده است.

۲. رفتار پل مورب فوت‌هیل در زمین‌لرزه‌ی سان‌فرناندو (۱۹۷۱)

هر دو پل خط رفت و برگشت زیرگذر بلوار فوت‌هیل که در لبه‌ی شرقی تقاطع بزرگراه گلدن استیت و فوت‌هیل قرار داشته در زمین‌لرزه‌ی سان‌فرناندو دچار آسیب شدند. شکل ۱ نمای شرقی این زیرگذر را از زیر نشان می‌دهد که در آن خرابی ستون‌ها



شکل ۱. نمای شرقی زیرگذر بلوار فوت‌هیل.^[۶]

(۱۹۷۱) مورد مطالعه قرار گرفت و چنین نتیجه شد که در اغلب آسیب‌های مشاهده شده در پل‌های مورب بزرگراهی، حرکت جسم صلب عرضه توان با برخورد صورت گرفته بین عرضه و کوله‌ها بر ارتعاش پویای این پل‌ها حاکم بوده است.^[۷] در این مطالعه برای شناسایی پارامترهای مهم و مؤثر بر رفتار پل‌های مورب دو مدل ساده و پیچیده از این پل‌ها مورد بررسی قرار گرفت.

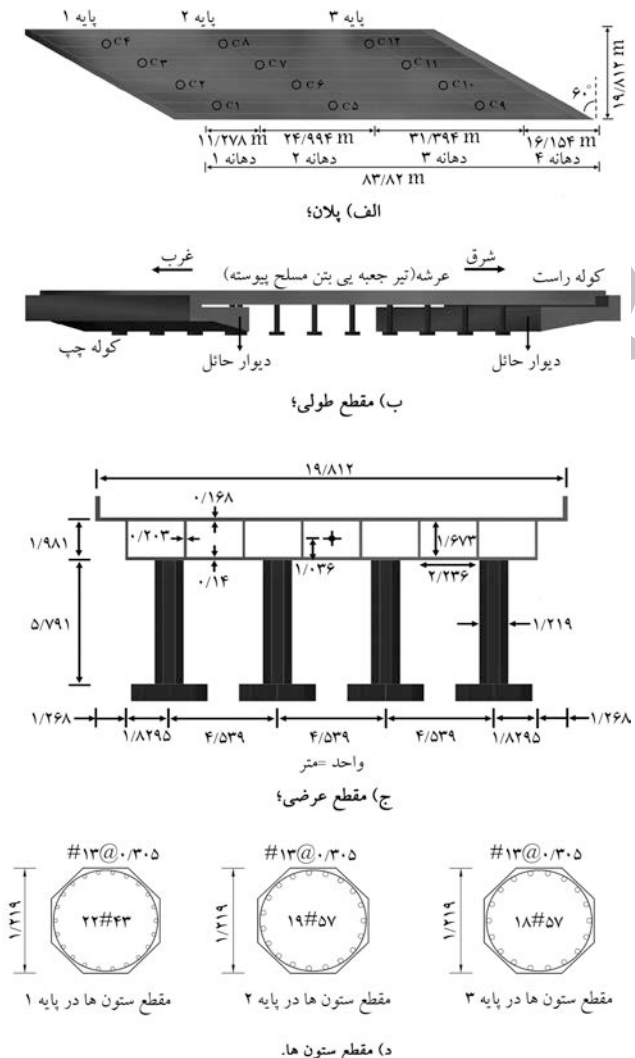
در سال ۱۹۹۱، رفتار لرزه‌ی پل مورب فوت‌هیل در زمین‌لرزه‌ی سان‌فرناندو (۱۹۷۱)، با استفاده از مدل‌های اجزاء محدود مورد مطالعه قرار گرفت.^[۸] در این مطالعه نتایج حاصل از تحلیل ارتعاش آزاد نشان داد که مود غالب بر حرکت پل حرکت جسم صلب بوده و تا مد چهارم، حرکت خمشی پل کم‌اهمیت و ناچیز است. از این رو با توجه به نتایج به دست آمده، فرضیات مورد استفاده‌ی مطالعه پیشین^[۹] مبنی بر حرکت جسم صلب عرضه را تأیید و نتایج مطالعه‌ی انجام شده در مرور حركت‌های هم‌بسته‌ی چرخشی و خمشی عرضه به عملت فرض گیردار بودن پای ستون‌ها در پایه‌های کناری را رد کردند. در ادامه‌ی این مطالعه پاسخ‌های تاریخچه زمانی جای‌جایی گره‌های در نظر گرفته شده برای مدل‌سازی عرضه با استفاده از تحلیل پویای خطی و غیرخطی تحت اثر مؤلفه‌ی عرضی زمین‌لرزه مورب بررسی قرار گرفت.

در سال ۲۰۰۰ رفتار لرزه‌ی پل مورب فوت‌هیل در زمین‌لرزه‌ی سان‌فرناندو با استفاده از سه مدل اجزاء محدود و به‌روش تحلیل طیفی تحت اثر دو مؤلفه‌ی طولی و عرضی مورد مطالعه قرار گرفت. مدل‌های در نظر گرفته شده عبارت بودند از دو مدل با عرضه‌ی صلب و انعطاف‌پذیر که در آن‌ها عرضه با استفاده از المان پوسته مدل‌سازی شد و یک مدل که در آن عرضه با یک تیر طولی معادل (مدل شاخه‌ی) مدل‌سازی شده بود. نتیجه‌ی حاصل از تحلیل ارتعاش آزاد این سه مدل حاکی از آن است که در هر سه مدل مود غالب چرخش عرضه در صفحه‌ی محور قائم بوده و در مود دوم و سوم مدل شاخه‌ی و مدل عرضه‌ی صلب فقط انتقالی است ولی در این دو مود مدل شاخه‌ی کشسان حركت‌های انتقالی همراه با پیچش و خمش خارج صفحه را نیز تجربه کرده است؛ بنابراین مشاهده شد که دو مدل اولی از نشان دادن تغییر شکل‌های خارج صفحه عرضه ناتوان‌اند. در این مطالعه پاسخ نیروهای برشی، محوری و لنگر پیچشی ستون‌ها با استفاده از انتقالی مدل به دست آمد و چنین نتیجه گیری شد که مدل شاخه‌ی و مدل با عرضه‌ی صلب قابلیت اندازه‌گیری تغییر شکل‌های خارج از صفحه عرضه را به عمل انتعطاف‌پذیری عرضه ندارد و لذا مقدار نیروهای محوری را دست پایین اندازه می‌گیرند. همچنین این دو مدل قابلیت تخمین دقیق جای‌جایی عرضی نقاط گوشی عرضه را ندارند و مقدار کمتری را نسبت به مدل دقیق‌تر عرضه کشسان نشان می‌دهند. در مطالعه و بررسی‌های بیشتر اثرات انتعطاف‌پذیری عرضه، گیرداری ستون‌ها در پایه‌های کناری، زاره‌ی تورب پل و برون محوری سختی زیرسازه نسبت به مرکز جرم مورد توجه قرار گرفت و نتیجه‌گیری شد که: ۱. در مدل‌سازی، اثر انتعطاف‌پذیری عرضه برای کناری به مدل واقعی تراز رفتار پل و دست‌یابی به پاسخ‌های دقیق‌تر باید لحاظ شود؛ ۲. تأثیر گیرداری پای ستون‌ها در پایه‌های کناری در کاهش پاسخ‌ها از تأثیر کاهش تورب پایه‌ها نسبت به محور طولی عرضه بیشتر است؛ ۳. برون محوری سختی زیرسازه نسبت به مرکز جرم تأثیر چشمگیری بر پاسخ‌ها ندارد.^[۱۰]

در سال ۲۰۰۲ ضعف مدل‌سازی عرضه در پل‌های مورب، با استفاده از مدل میله‌ی تک‌تیر^۱ مورد مطالعه قرار گرفت.^[۱۱] با توجه به این که مودهای غالب در پل‌های مورب حرکت انتقالی عرضه همراه با چرخش است، نتیجه‌ی حاصل از این مطالعه نشان داد که مدل میله‌ی تک‌تیر قابلیت نشان دادن این نوع مودها را نخواهد داشت. برای رفع این نواقص و حفظ سادگی مدل، یک مدل میله‌ی دو تیر^۲ ارائه شد

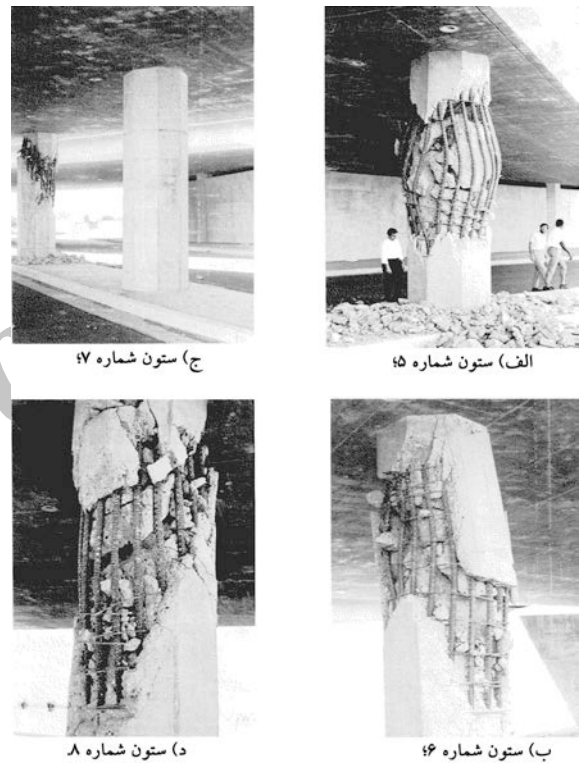
عنوان کرد (شکل ۲ الف). در شکل ۳ نیز مشاهده می‌شود که در راستای افزایش زاویه‌ی تورب، جابه‌جایی ماندگاری در حدود ۷/۶ سانتی‌متر (۳ اینچ) در پل جنوب شرقی بر اثر رفتار غیرخطی در طول زمین‌لرزه رخ داده است.^[۱] البته در برخی منابع مقدار جابه‌جایی ماندگار این پل در حدود ۱۰/۱۶ سانتی‌متر (۴ اینچ) ذکر شده^[۲] و فرض شده که عرضه‌ی پل دارای چرخشی صفحه‌ی بتن حول ستون شماره ۷ در پایه‌ی میانی بوده که در طول زمین‌لرزه تقریباً بدون آسیب باقی مانده است. وقوع پیچش تأمین با لنگر خمشی و نیروهای برشی و محوری در پایه‌های پل جنوب شرقی زیرگذر بلوار فوت هیل، تعیین عامل اصلی خرابی در ستون‌های این پل را به موضوعی نسبتاً پیچیده بدل کرده است. به این منظور و در ادامه‌ی سایر تحقیقات، در این مطالعه ضمن مدل‌سازی پل مورد نظر در محیط نرم افزار OpenSees، پس از تأیید نتایج اولیه به‌کمک سایر مطالعات، به بررسی خرابی و آسیب‌پذیری این پل پرداخته شده است.

در این مطالعه با استفاده از قابلیت‌های نرم افزار OpenSees در مدل‌سازی رفتار غیرخطی سازه‌های بتن مسلح، تحلیل تاریخچه زمانی غیرخطی روی پل صورت گرفته است. ابعاد هندسی و مشخصات کلی پل جنوب شرقی نیز در شکل ۴ نشان داده شده است.



شکل ۴. ابعاد هندسی و مشخصات کلی پل جنوب شرقی زیرگذر بلوار فوت هیل.^[۱]

در پایه‌ی میانی پل جنوب شرقی (نمای دوربر) و خرابی پوشش بتن در پایه‌ی پایه‌ی میانی و خسارت وارد به قسمت فوقانی ستون‌ها در پایه‌های کناری پل شمال غربی (نمای نزدیک‌تر) قابل مشاهده‌اند. خرابی مشاهده شده در پل شمال غربی، ناشی از برخورد قسمت فوقانی ستون‌های پایه‌ی کناری با دیوار حائل^۲ در ستون‌های این پایه، جزئی است. با این که پل جنوب شرقی در مجاورت پل شمال غربی قرار دارد، براساس مشاهدات شکل ۱ این پل آسیب بیشتری دیده و در این زمین‌لرزه رفتار کاملاً متفاوتی از خود نشان داده است. چنان که در شکل ۲ مشاهده می‌شود، خسارت وارد به ستون‌های پایه‌ی میانی این پل به‌گونه‌ای است که ستون شماره ۷ در مقایسه با آسیب‌دیدگی ستون‌های مجاورش -- تقریباً آسیبی ندیده است. در این شکل کمانش آرماتورهای طولی در ستون شماره ۵ و جداشدگی پوشش بتنی در سه ستون از چهار ستون پایه‌ی میانی مشهود است. در سه ستون یکی از دلایل خرابی این ستون‌ها را کافی نبودن فاصله‌ی بین تنگه‌ها شاید بتوان یکی از دلایل خرابی این ستون‌ها را کافی نبودن فاصله‌ی بین تنگه‌ها



شکل ۲. نمای نزدیک از آسیب وارد به ستون‌های پایه میانی پل جنوب شرقی زیرگذر بلوار فوت هیل.^[۱]



شکل ۳. جابه‌جایی ماندگار ۷/۶۷ سانتی‌متر در راستای افزایش زاویه‌ی تورب در پل جنوب شرقی زیرگذر بلوار فوت هیل (گره گوشه ۲ در مدل).^[۱]

۳. مدل عددی

۱.۳. معرفی نرم افزار OpenSees و قابلیت‌های آن

مرکز تحقیقاتی پیر (PEER) در دانشگاه برکلی یک نرم افزار اجزاء محدود برای مدل سازی و شبیه‌سازی سیستم‌های سازه‌ی و زوتکنیکی تحت اثر بار زلزله ارائه داده است. این نرم افزار که قبلاً به آن G3 مطلق می‌شد امروزه به نام OpenSees (سیستم باز برای شبیه‌سازی مهندسی زلزله) نام‌گذاری شده است. به هنگام به کارگیری این نرم افزار، استفاده از اینترنت به عنوان یک کاتال ارتقابی به کاربر این امکان را می‌دهد که از روش‌های مناسب برای حل مشکلات به وجود آمده در مدل سازی استفاده کند. زبان برنامه‌نویسی به کار رفته در این نرم افزار C++ است که یک زبان برنامه‌نویسی شی‌گراست. البته اخیراً کاربران این امکان را یافته‌اند که بدون نیاز به شناخت و آگاهی کامل از زبان C++ و تنها با استفاده از زبان برنامه‌نویسی Tcl با برنامه‌ی OpenSees ارتباط برقرار کنند.^[۱]

وجود مجموعه‌یی از مصالح و اجراء متنوع و کاربردی و همچنین دستورات تحلیلی مناسب، OpenSees را به نرم افزاری قدرتمند و مؤثر برای شبیه‌سازی عددی سیستم‌های غیرخطی سازه‌ی و زوتکنیکی بدل ساخته است. این نرم افزار از قابلیت اجرای تحلیل‌های ایستای خطی و غیرخطی، پویای خطی و غیرخطی، و نیز تحریک یکنواخت و چندتکیه‌گاهی برخوردار است.^[۱] بر این اساس، در این مطالعه از این نرم افزار اجراء محدود برای مدل سازی استفاده شده است.

۲. تشریح مدل

در اغلب مدل سازی‌های صورت‌گرفته روی رفتار لزže‌یی پل‌ها، به عملت حفظ سادگی به طور معمول از مدل شاخه‌یی استفاده می‌شود به طوری که در آن عرضه با یک تک تیر معادل سازی می‌شود. در مورد پل‌های مورب، چون مود غالب بر رفتار ارتعاشی این نوع پل‌ها «انتقال عرضه همراه با چرخش» است مدل شاخه‌یی تک تیر قابلیت اندازه‌گیری این نوع حرکت را نخواهد داشت. از این رو برای رفع این مشکل و حفظ سادگی در این مطالعه از یک مدل شاخه‌یی جفت تیر استفاده شده که در آن عرضه با دو تیر طولی معادل سازی شده و مجموع جرم و وزن‌گری‌های هندسی مقطع آنها — یعنی سطح مقطع، ممان اینرسی جرمی حول محورهای افقی و قائم مقطع و ثابت پیچشی مقطع — معادل مقطع عرضه‌یی اصلی و فاصله‌ی افقی دو تیر نیز نسبت به محور طولی مرکزی عرضه براساس معادل سازی ممان اینرسی جرمی مقطع حول محور قائم کنترل می‌شود. فاصله‌ی دو تیر افقی معادل برای عرضه‌ی دارای تیرهای حمال جعبه‌یی^۷ از رابطه‌ی ۱ تعیین می‌شود:^[۷]

$$\begin{aligned}
 S_1 &= \sqrt{\sum_{i=1}^r \frac{M_i}{12M} (L^i \cos^2 \theta + W_i^i)} \\
 S_2 &= \cos \theta \sqrt{\sum_{j=1}^{n_w} \frac{M_j}{M} \left(\frac{L^j}{12} + \frac{d_j^i}{\cos^2 \theta} \right)} \\
 S_3 &= \frac{L}{2\sqrt{3}} \cos \theta \\
 S &= \sqrt{S_1^2 + S_2^2 - S_3^2}
 \end{aligned} \tag{۱}$$

که در آن S فاصله‌ی افقی دو تیر نسبت به محور طولی مرکزی عرضه، θ زاویه‌ی تورب پل، L طول عرضه، M جرم بال بالایی یا پایینی عرضه، W_i عرض بال بالایی یا پایینی عرضه، n_w تعداد جان‌های مقطع عرضه، M_j جرم جان

زام عرضه، و d فاصله‌ی عمودی بین زام عرضه از محور مرکزی عرضه است. سایر پارامترهای معادل مربوط به تیرهای طولی نیز از رابطه‌های ۲ تا ۵ محاسبه می‌شوند:

$$A_s = \frac{A_d}{2} \tag{۲}$$

$$I_{ys} = \frac{I_{yd}}{2} \tag{۳}$$

$$I_{zs} = \frac{I_{zd} - 2A_s S^2}{2} \tag{۴}$$

$$J_s \approx \frac{J_d}{2} = \frac{T}{2G\beta} \tag{۵}$$

در این رابطه‌ها A_d سطح مقطع عرضه، A_s سطح مقطع یک تیر طولی، I_{yd} ممان اینرسی مقطع عرضه حول محور افقی، I_{ys} ممان اینرسی مقطع تیر طولی حول محور افقی، I_{zd} ممان اینرسی مقطع عرضه حول محور قائم، I_{zs} ممان اینرسی مقطع تیر طولی حول محور قائم، J_d ثابت پیچشی مقطع عرضه، و J_s ثابت پیچشی مقطع تیر طولی است. همچنین مقادیر T و β براساس روابط ۶ و ۷ به دست می‌آید:

$$T = 2 \sum_{i=1}^r A_i q_i = 2A_0 (q_1 + q_2 + \dots + q_r) \tag{۶}$$

$$\beta = \frac{1}{2GA_0} \oint \frac{q}{t} ds \tag{۷}$$

که در آن A_0 سطح مقطع میانگین یک سلوول از مقطع عرضه، q_i جریان برشی در سلوول i ام، t ضخامت دیواره سلوول و G مدول برشی مصالح مقطع عرضه بعنی بتن است. از آنجا که عرضه شامل تیرهای حمال جعبه‌یی است و تعداد مقطع عرضه شامل هفت سلوول است، برای تعیین مقدار ثابت پیچشی مقطع با توجه به روابط ۶ و ۷، حل یک دستگاه معادلات هفت معادله و هفت مجھول ضرورت می‌یابد تا این طریق و با تعیین نسبت $T/G\beta$ مقدار J_s به دست آید.^[۱] برای حفظ عملکرد یکپارچگی عرضه در مدل، در هر چهار دهانه دو تیر طولی در سه نقطه و با اتصال صلب به هم بسته شده‌اند؛ همچنین جرم معادل عرضه بین دو انتهای این اتصال‌ها و روی تیرهای طولی توزیع شده است. از سوی دیگر، برای لاحاظ کردن اثر صلیبی اتصال تیرهای سرستون به ستون‌ها در مدل، انتهای فوکانی ستون‌ها به اندازه‌ی ارتفاع مرکز سطح مقطع عرضه (عنی ۱۰۳۶ متر) صلب در نظر گرفته شده است. مشخصات کلی مدل به کار رفته شده در شکل ۵ نشان داده شده است. فاصله‌ی S در شکل ۵ ب با استفاده از رابطه‌ی ۱ برابر با $5/198$ متر به دست می‌آید. فرضیات اصلی که بر مبنای متابع موجود از پل در این مدل سازی به کار رفته عبارت است از:^[۷-۵]

(الف) غلتکی بودن تکیه‌گاههای کناری (گره‌های ۱، ۲، ۳ و ۴). این فرض با توجه به اطلاعات ذکر شده در گزارش خوبی پل^[۱] قابل توجیه است. در این گزارش جایه‌جایی ماندگاری در حدود ۷/۶۲ سانتی‌متر در عرضه‌ی پل همراه با چرخش در راستای افزایش زاویه‌ی تورب ذکر شده. بنابراین پیداست که در تکیه‌گاههای کناری یک گیرداری افقی کوچک وجود داشته که برایر وقوع زلزله از بین رفته و تکیه‌گاههای کناری در طول زمین لزره فقط عکس العمل قائم داشته‌اند.

(ب) بسته بودن چرخش عرضه حول محور طولی در تکیه‌گاههای کناری (کوله‌ها).

(ج) عدم تأثیر دیوارهای حایل کناری بر سختی ستون‌ها در پایه‌های اول و سوم.

(د) مفصلی بودن پای ستون‌ها در پایه‌های اول و سوم و گیرداری آنها در پایه‌ی دوم.

این فرض بر مبنای نقشه‌های اجرایی موجود در منابع لحاظ می‌شود به طوری که علت گیرداری پای ستون‌ها در پایه‌ی دوم به پی سطحی یک پارچه‌ی آنها نسبت داده شده است.

جدول ۱. مشخصات مصالح بتنی ستون‌ها.

P (kg/m ²)	E_c (GPa)	ϵ_u	f_u (MPa)	ϵ_c	f_c (MPa)	پارامتر
۲۴۰۰	۲۱,۶۸۹	۰,۰۰ ۷۵۹	۱۲,۸۱۵	۰,۰۰ ۲۱۹	۲۲,۰۵	پایه‌ی ۱ (الف)
		۰,۰۰ ۷۵۹	۱۲,۹۲۳	۰,۰۰ ۲۱۹	۲۲,۰۵	پایه‌ی ۲ (الف)
		۰,۰۰ ۷۵۹	۱۲,۹۲۳	۰,۰۰ ۲۱۹	۲۲,۰۵	پایه‌ی ۳ (الف)
		۰,۰۰ ۴	۰,۰	۰,۰۰ ۱۷۵	۲۱,۰	(ب)

(الف) بتن هسته؛ (ب) بتن پوشش روی آرماتورها.

آسیب باقی مانده، مشخص می‌شود که رفتار کشسان داشته است.^[۷-۸] از این رو تیرهای طولی در این مطالعه کشسان مدل می‌شوند. همچنین تیرهای سرستون^۹ نیز به دلیل شرایط مشابه در طول زمین لرزه کشسان باقی مانده و لذا آنها نیز کشسان مدل می‌شوند.

در نرم افزار OpenSees برای مدل‌سازی المان‌های کشسان از تیرستون کشسان^{۱۰} استفاده می‌شود. با توجه به خواصی‌های مشاهده شده در ستون‌ها در طول زمین لرزه (شکل ۲)، این اعضاء رفتار غیر خطی از خود نشان داده‌اند و از این رو در این مدل‌سازی برای در نظر گرفتن رفتار واقعی تری از پل، به صورت غیرخطی مدل می‌شوند. المان غیرخطی به کار رفته تیرستون مبتنی بر جایه‌جایی^{۱۱} است که در آن توزیع نواحی خمیری در طول المان به صورت گسترشده فرض می‌شود.

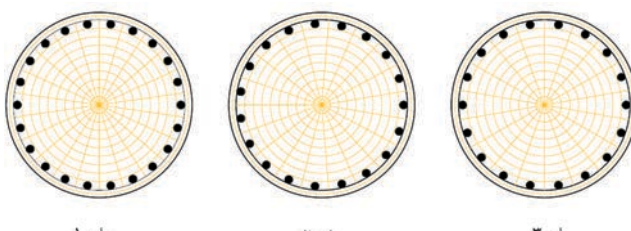
با توجه به نقشه‌های اجرایی موجود، مشاهده شده که مقطع ستون‌ها هشت‌ضلعی مستطیم است؛ و برای سادگی در مدل‌سازی از مقطع دایره‌ی با قطری میانگین قطر دایره‌ی محاطی و محیطی برابر با ۱/۲۶۹ متر استفاده شده است. مشخصات کلی تیرهای طولی معادل و تیرهای سرستون در جدول ۳ و همچنین تعداد تقسیمات هسته و پوشش بتنی مقطع ستون‌ها (یعنی فایبرها) و موقعیت قرارگیری آرماتورها در شکل ۶ نشان داده شده است.

جدول ۲. مشخصات آرماتورهای طولی ستون‌ها.

E_s (GPa)	$b = E_{Post\ Yield} / E_{Pre\ Yield}$	f_y (MPa)	پارامتر
۱۹۹,۹۴۷	۰,۰۱	۲۷۰	آرماتورهای طولی

جدول ۳. مشخصات تیرهای طولی معادل عرضه و تیرهای سرستون.

J (m ⁴)	I_z (m ⁴)	I_y (m ⁴)	A (m ²)	پارامتر
۸,۰۹۹	۰,۰۱۲	۲,۵۳۱	۴,۰۱۹	تیرهای طولی
۱,۱۳۰	۰,۵۵۷	۰,۹۷۲	۲,۹۷۱	تیرهای سرستون



شکل ۶. موقعیت قرارگیری آرماتورهای طولی و تقسیم‌بندی فایبرها.

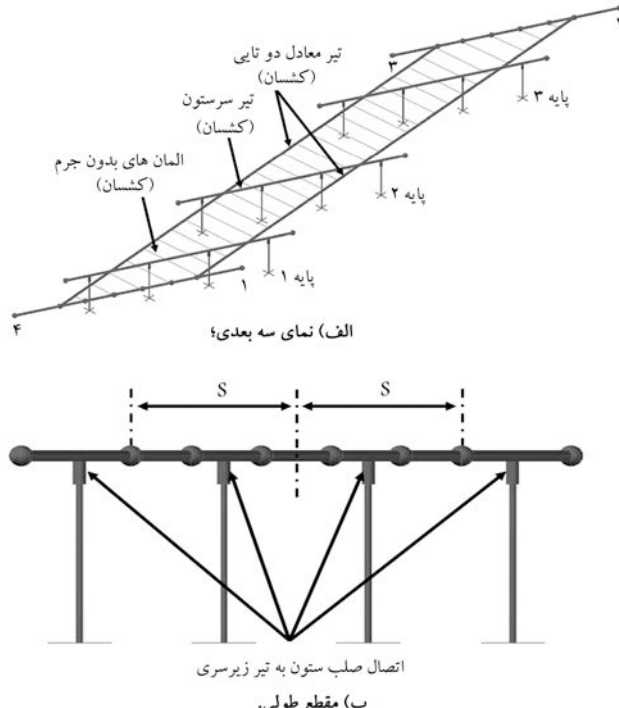
۳.۳. شبیه‌سازی مصالح مدل

در این مطالعه برای مدل‌سازی مصالح بتنی در ستون‌ها از بتن نوع ۲ استفاده شده که در آن، برای بتن مقاومت کششی در نظر گرفته می‌شود و نرم‌سازگاری کششی آن نیز خطی فرض می‌شود. همچنین برای مدل‌سازی مصالح فولادی آرماتورها در ستون‌ها از آهن نوع ۲ (منحنی رفتاری دوخطی) استفاده شده است.^[۱۱]

تش و کرنش متناظر با مقاومت فشاری و نهایی مصالح بتنی هسته و پوشش آرماتورها بر مبنای نظریه‌ی مندر^۸ به ترتیب برای بتن محصورشده و محصورشده به دست می‌آید. این نظریه مبنای روش‌های بهکار رفته در بسته‌های نرم افزاری تجاری سازه‌ی برای شبیه‌سازی رفتار مصالح بتن مسلح است.^[۱۲] مشخصات پارامترهای تعريف‌کننده‌ی مصالح بتنی و فولادی ستون‌ها به ترتیب در جداول ۱ و ۲ نشان داده شده است.

۴. شبیه‌سازی المان‌های سازه‌یی مدل

همان‌طور که در بخش ۲.۳ توضیح داده شد، عرضه‌ی پل توسط دو عدد تیر طولی معادل مدل‌سازی شده است. چون عرضه به عملت ابعاد بزرگ در طول زمین لرزه بدون



شکل ۵. نمای سه‌بعدی و مقطع طولی مدل اجزاء محدود پل مورب فوت‌هیل در نرم افزار OpenSees.

۵.۳. تحریک ورودی مدل

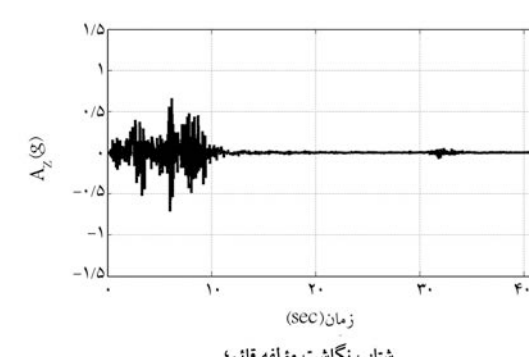
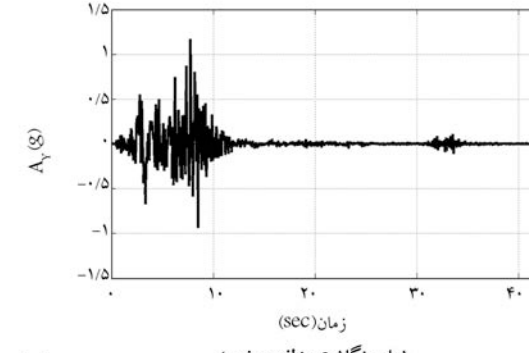
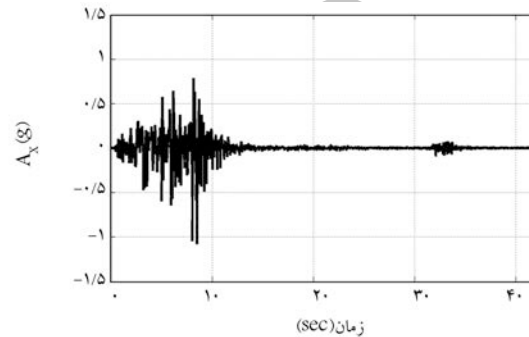
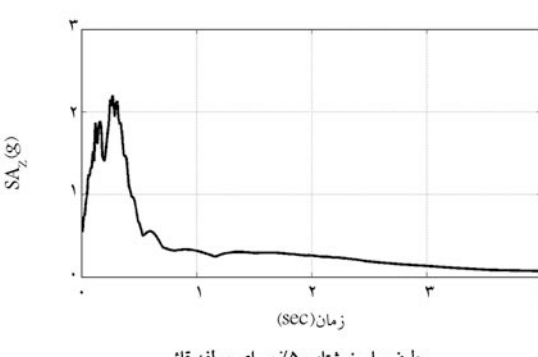
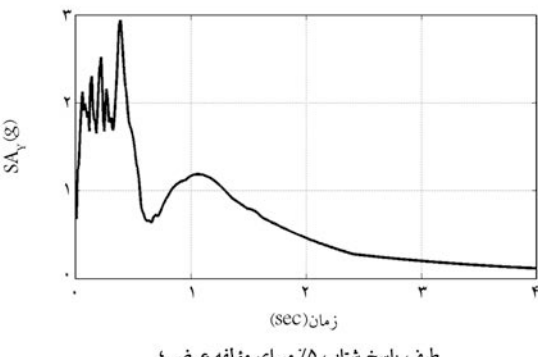
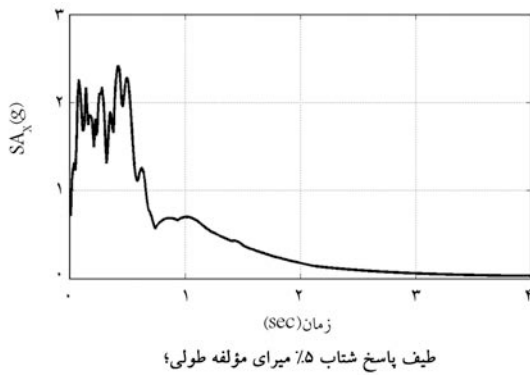
با توجه به نزدیکی ساختگاه زیرگذر بلوار فوت هیل به مرکز زمین لرزه‌ی سان‌فرناندو (۱۹۷۱) و نیز با توجه به خرابی مشاهده شده در آن می‌توان گفت که این زیرگذر نسبتاً تحت اثر تکان‌های شدیدی قرار گرفته است. در این مطالعه برای تحلیل پل مورب جنوب شرقی این زیرگذر، از شتاب‌نگاشت‌های ثبت شده در ایستگاه سد پاکویما^[۱۲] استفاده شده است.

به منظور تعیین دوره‌ی تناوب طبیعی و شکل مودهای ارتعاش پویای پل مورب فوت هیل تحلیل ارتعاش آزاد روی آن انجام می‌شود. برای مقایسه‌ی دوره‌ی تناوب طبیعی و شکل مودهای اول، دوم و سوم، این پل و پل مستقیم متناظر با آن در شکل ۸ ثبت شده است. نرم افزار OpenSees قابلیت تعیین شکل مودهای سازه‌ی شبیه‌سازی شده را ندارد و برای تعیین این شکل مودها از نرم افزار جانبی OSP استفاده شده است.^[۱۳] چنان‌که در شکل ۸ ملاحظه می‌شود، در مود اول حرکت

۴. نتایج عددی

۴.۱. تحلیل ارتعاش آزاد

به منظور تعیین دوره‌ی تناوب طبیعی و شکل مودهای ارتعاش پویای پل مورب فوت هیل تحلیل ارتعاش آزاد روی آن انجام می‌شود. برای مقایسه‌ی دوره‌ی تناوب طبیعی و شکل مودهای اول، دوم و سوم، این پل و پل مستقیم متناظر با آن در شکل ۸ ثبت شده است. نرم افزار OpenSees قابلیت تعیین شکل مودهای سازه‌ی شبیه‌سازی شده را ندارد و برای تعیین این شکل مودها از نرم افزار جانبی OSP استفاده شده است.^[۱۳]



شکل ۷. شتاب‌نگاشت‌های اصلاح شده‌ی مؤلفه‌های طولی، عرضی و قائم زمین لرزه‌ی سان‌فرناندو همراه با طیف پاسخ شتاب ۵٪.

جدول ۴. مقایسه‌ی دوره‌ی تناوب‌های به دست آمده در این مطالعه برای پل مورب فوت‌هیل با دیگر منابع.

شماره مود	اول	دوم	سوم
این مطالعه	۰,۶۶۲	۰,۵۳۷	۰,۴۲۶
مدل اول	۰,۵۳۰	۰,۴۳۰	۰,۳۹۰
مدل دوم	۰,۴۶۰	۰,۳۴۰	۰,۳۲۰
مدل اول	۰,۵۸۸	۰,۴۲۹	۰,۳۸۵
مدل دوم	۰,۴۹۶	۰,۳۴۰	۰,۳۳۵
مدل سوم	۰,۵۵۲	۰,۳۶۶	۰,۳۶۱
	۰,۶۰۷	۰,۴۱۴	۰,۳۷۵

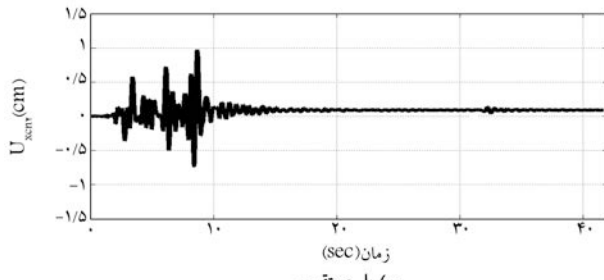
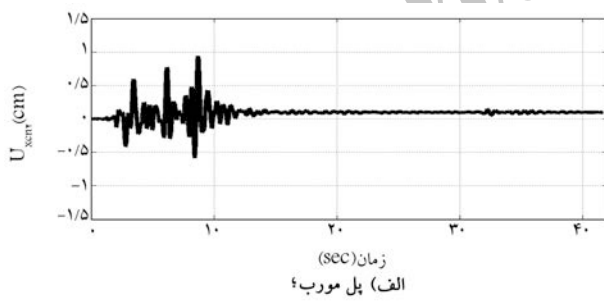
چرخشی عرشه بر ارتعاش پویای هر دو پل مورب و مستقیم حاکم است و به دلیل انعطاف‌پذیری عرشه، تغییر شکل‌های خمی‌ داخل صفحه‌ی عرشه نیز تا حدودی در این مود دیده می‌شود. در مود دوم، در پل مورب حرکت انتقالی عرشه در راستای عمود بر پایه‌ها که منطبق بر راستای طولی عرشه نیست همراه با خمی‌ داخل صفحه عرشه حاکم است اما در پل مستقیم حرکت انتقالی عرشه در راستای عرضی همراه با خمی‌ داخل صفحه عرشه حاکم است. در مود سوم، در پل مورب حرکت‌های همیسته‌ی انتقالی عرشه در راستای موازی با پایه‌ها و در راستای طولی عرشه همراه با خمی‌ داخل صفحه عرشه حاکم است، اما در پل مستقیم حرکت انتقالی عرشه در راستای طولی حاکم است. از شکل مودهای به دست آمده به طور کلی می‌توان

چنین نتیجه گرفت که در پل‌های مورب حرکت‌های انتقالی عرشه برخلاف پل‌های مستقیم در راستای طولی یا عرضی عرشه نیست بلکه ترکیبی از این دو حالت است و در راستای عمود بر پایه‌ها یا موازی با پایه‌ها خواهد بود. بهمنظور بررسی صحبت مدل اجزاء محدود ارائه شده در این مطالعه، نتایج تحلیل خطی این مدل با تابعی به دست آمده از روش تقریبی ارائه شده برای تحلیل خطی پل‌های مورب [۱۵] مقایسه شده است که نشان از صحبت مدل اجزاء محدود دارد. در این نوشتار برای رعایت اختصار از ذکر تابع حاصل از این مقایسه پرهیز می‌شود اگرچه اطلاعات بیشتر قابل دسترس است.^[۱۶] در اینجا تنها به مقایسه‌ی دوره‌ی تناوب‌های به دست آمده از مدل ارائه شده برای پل مورب فوت‌هیل در این نوشتار با سایر مدل‌های ارائه شده برای همین پل در دیگر منابع^[۱۷] اکتفا می‌شود. نتایج حاصل از این مقایسه (جدول ۴)، حاکی از دقت خوب مدل ارائه شده در این نوشتار است.

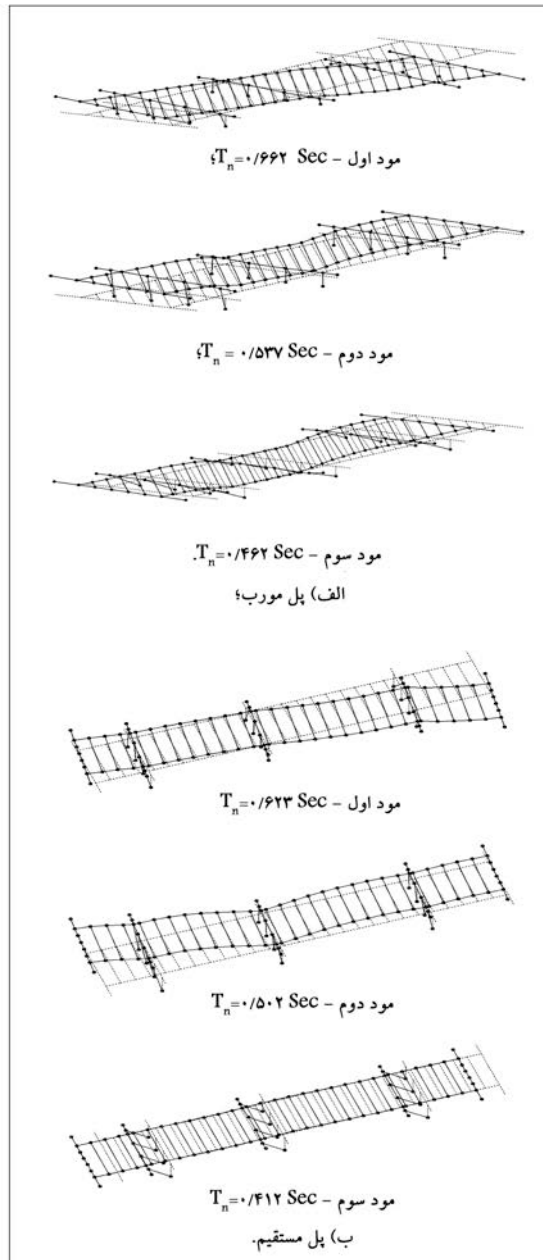
۲.۴. تحلیل تاریخچه زمانی غیرخطی

۱.۲.۴. جابه‌جایی طولی و عرضی نقاط گوشه‌ی عرشه

در شکل‌های ۹ و ۱۰ منحنی تاریخچه زمانی جابه‌جایی طولی و عرضی گره ۲ ارائه شده که البته برای رعایت اختصار، جابه‌جایی سایر گره‌های گوشه نشان داده نشده



شکل ۹. جابه‌جایی طولی گره گوشه شماره ۲ عرشه در پل مورب و مستقیم.

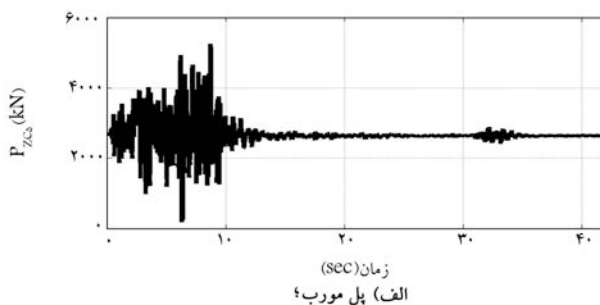


شکل ۸. مقایسه‌ی شکل مودهای پل مورب جنوب شرقی زیرگذر فوت‌هیل و پل مستقیم متناظر با آن.

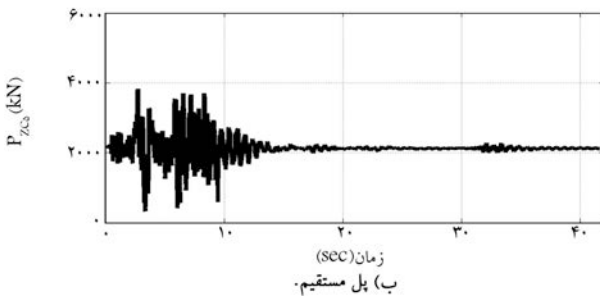
مشاهده می‌شود که مقدار جابه‌جایی عرضی گره‌های واقع در گوشه‌ی حاده^{۱۳} ای عرشه (گره‌های شماره ۲ و ۴ در پل مورب) بیش از پل مستقیم است و وضعیت برای گره‌های واقع در گوشه‌ی منفرجه^{۱۴} ای عرشه یعنی گره‌های شماره ۱ و ۳ برعکس است. به طور کلی به دلیل نحوی قرارگیری پایه‌ها و شکل هندسی خاص عرشه در پل‌های مورب، جابه‌جایی عرضی نقاط نزدیک به گوشه‌های حاده بیش از گوشه‌های منفرجه است و امکان افتادگی عرشه از روی کوله در این گوشه‌ها بیشتر است.

۲.۲.۴. نیروی محوری ستون‌ها

در شکل ۱۲ منحنی تاریخچه زمانی نیروی محوری ستون شماره‌ی ۵ پایه‌ی میانی برای نمونه نشان داده شده است. در شکل ۱۳ نیز مقادیر بیشینه نیروی محوری برای هر دو حالت پل مورب و پل مستقیم مقایسه‌ی کلی شده است. همان‌طور که در شکل ۱۲ مشاهده می‌شود، منحنی تاریخچه زمانی نیروی محوری از یک مقدار ثابت اولیه شروع شده و در انتهای دوباره به آن بازمی‌گردد؛ این مقدار ثابت ناشی از نیروی ثقلی وزن عرشه است. با توجه به شکل ۱۳ که مقادیر بیشینه نیروی محوری ستون‌های سپایه را نشان می‌دهد، مشاهده می‌شود که نیروی محوری ستون‌ها در پل مورب بیشتر از پل مستقیم است. این امر به نحوی قرارگیری پایه‌ها و توزیع نیروی ثقلی عرشه بستگی دارد. از سوی دیگر، ستون‌های شماره ۱ و ۴ در پایه‌ی اول، ستون‌های شماره ۵ و ۸ پایه‌ی دوم و ستون‌های شماره ۹ و ۱۲ پایه‌ی سوم (ستون‌های کناری پایه‌ها) تحت تأثیر نیروی محوری قابل توجهی قرارگرفته‌اند که در

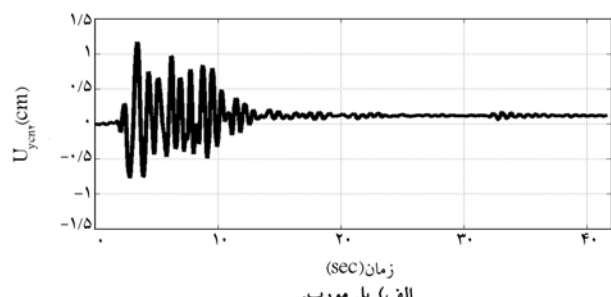


(الف) پل مورب؛

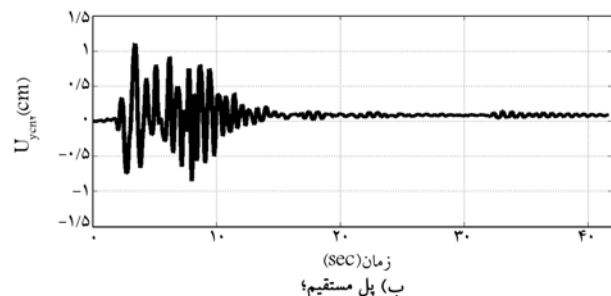


(ب) پل مستقیم.

شکل ۱۲. نیروی محوری ستون شماره ۵ پایه دوم در پل مورب و مستقیم.

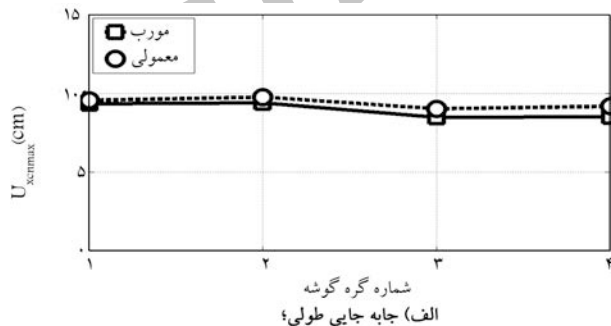


(الف) پل مورب.

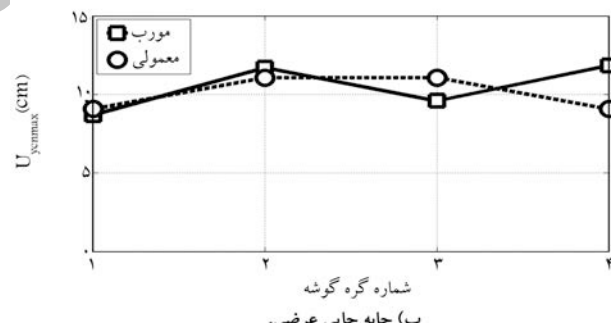


(ب) پل مستقیم؛

شکل ۱۰. جابه‌جایی عرضی گره گوشه شماره ۲ عرشه در پل مورب و مستقیم.

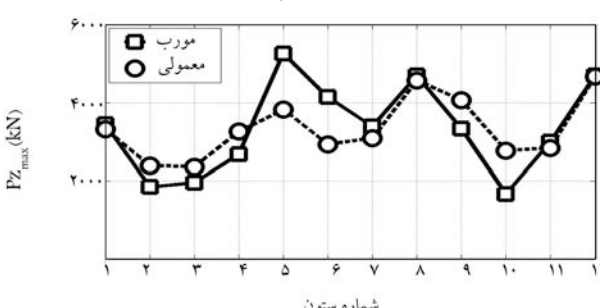


(الف) جابه جایی طولی؛



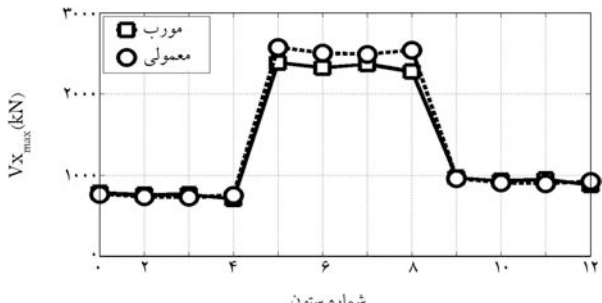
(ب) جابه جایی عرضی.

شکل ۱۱. بیشینه جابه جایی طولی و عرضی گره گوشه عرشه در پل مورب و مستقیم.

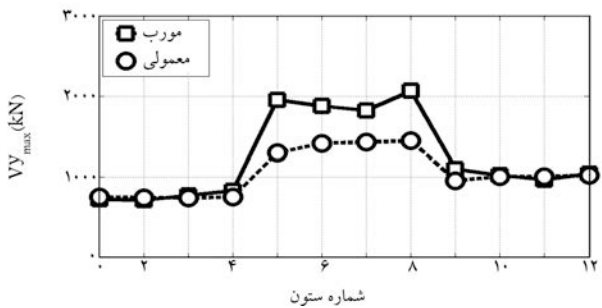


شکل ۱۳. بیشینه نیروی محوری ستون‌ها در پل‌های مورب و مستقیم.

ولی مقایسه‌ی کلی بین مقادیر بیشینه‌ی جابه‌جایی طولی و عرضی در گره‌های گوشه برای هر دو حالت پل مورب و مستقیم در شکل ۱۱ نشان داده شده است. همان‌طور که در شکل ۱۰ الف مشاهده می‌شود، بیشینه جابه‌جایی عرضی گره ۲ برای پل مورب ۱۱/۷ سانتی‌متر است و در لحظه‌ی (شکل ۷) در لحظه‌ی بعد از زمان اولین پالس مؤلفه‌ی عرضی شتاب زمین‌لرزه (شکل ۷) ۳/۴۵ ۳/۳۳ ثانیه است. این مقدار با جابه‌جایی مانندگار ۱۰/۱۶ سانتی‌متر (۴ اینچ)^[۶] هم خوانی دارد. در شکل ۱۱ الف مشاهده می‌شود که مقدار جابه‌جایی طولی گره‌های گوشه‌ی عرشه در پل مستقیم اندازی نیز از پل مورب است. در شکل ۱۱ ب نیز



شکل ۱۶. بیشینه نیروی برشی ستون‌ها در راستای طولی در پل مورب و مستقیم.



شکل ۱۷. بیشینه نیروی برشی ستون‌ها در راستای عرضی در پل مورب و مستقیم.

در شکل‌های ۱۶ و ۱۷ مقادیر بیشینه نیروی برشی در پایی ستون‌ها در راستای طولی و عرضی برای هر دو حالت پل مورب و پل مستقیم مقایسه‌ی کلی شده است. در این شکل‌ها مشاهده می‌شود که بیشینه نیروی برشی پایی ستون‌ها در پایه‌های اول و سوم در راستای طولی و عرضی در پل مورب و مستقیم تقریباً یکسان است. از سوی دیگر، بیشینه نیروی برشی عرضی ستون‌ها در پایه‌ی سوم در پل مورب بیش از پل مستقیم متضاین‌تر است اما نیروی برشی طولی در پل مستقیم اندکی بیش از پل مورب است. از دیدگاهی دیگر، می‌توان گفت که نیروی برشی در پایه‌ی دوم در دو راستای طولی و عرضی برای پل مورب و پل مستقیم نسبت به پایه‌ی اول و سوم بیشتر است. از این رو دیده می‌شود که پایه‌ی سوم از نظر نیروی برشی نیز مستعد خرابی است که علت آن ناشی از شرایط تکیه‌گاهی ستون‌ها در پایه‌ی سوم، یعنی کیفرداری آنهاست.

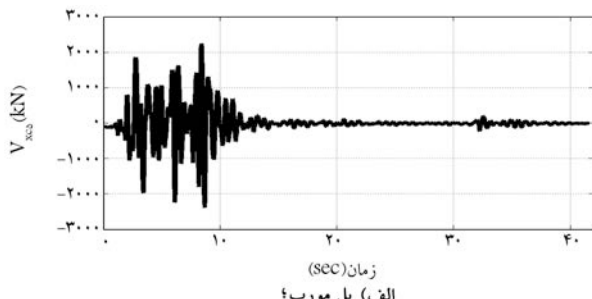
۴.۲.۳. لنگر خمشی پایی ستون‌ها

همان‌طور که پیشتر گفته شد، شرایط تکیه‌گاهی در ستون‌های پایه‌ی اول و سوم و ستون‌های پایه‌ی دوم به‌گونه‌یی است که پای این ستون‌ها به‌ترتیب مفصلی و گیردار مدل شده است؛ طوری که فقط در پای ستون‌های پایه‌ی دوم لنگر خمشی تحمیل می‌شود و این پایه تحت اثر لنگرهای خمشی مستعد خرابی بوده است. در شکل‌های ۱۸ و ۱۹ منحنی تاریخچه زمانی لنگر خمشی پایی ستون شماره ۵ در پایه‌ی دوم در پل مورب و مستقیم به‌ترتیب حول محور در راستای طولی و عرضی برای نمونه نشان داده شده است. مقادیر بیشینه لنگر خمشی در پای ستون‌های پایه‌ی دوم حول راستای طولی و عرضی برای هر دو نوع پل مستقیم و پل مورب در شکل‌های ۲۰ و ۲۱ مقایسه شده است. در شکل ۲۱ مشاهده می‌شود که مقدار لنگر خمشی حول محور عرضی در پل مورب بیشتر از پل مستقیم است، حال آن که لنگر خمشی حول محور طولی در شکل ۱۹ وضعیتی وارونه دارد، به‌طوری که مقدار آن در پل مستقیم بیشتر از پل مورب است. با این حال دیده می‌شود که به‌طور کلی لنگر خمشی حول محور عرضی برای پل مورب و مستقیم بیشتر از لنگر خمشی حول محور طولی است.

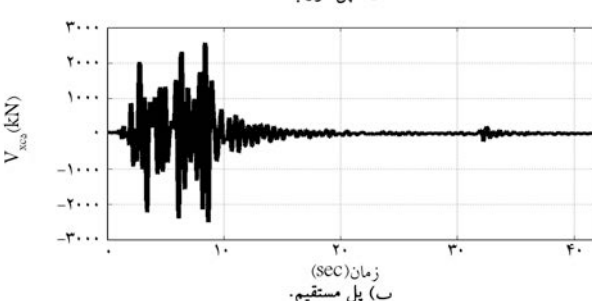
پل مورب این اثر بیشتر دیده می‌شود. همچنین مشاهده می‌شود که در هر دو پل مورب و مستقیم ستون‌های پایه‌ی میانی در مقایسه با ستون‌های پایه‌ی اول و سوم وضعیت بحرانی تری دارند. از میان ستون‌های پایه‌ی دوم، ستون‌های ۵ و ۷ به‌ترتیب بیشترین و کمترین خرابی را داشته‌اند (شکل ۲۰)، در حالی که بیشترین و کمترین مقدار نیروی محوری نیز به این دو ستون در پایه دوم متعلق بوده است (شکل ۲۱).

۲.۴. نیروی برشی پایی ستون‌ها

در شکل‌های ۱۴ و ۱۵ منحنی تاریخچه زمانی نیروی برشی پایی ستون شماره ۵ پایی میانی در راستای طولی و عرضی برای نمونه نشان داده شده است. همچنین

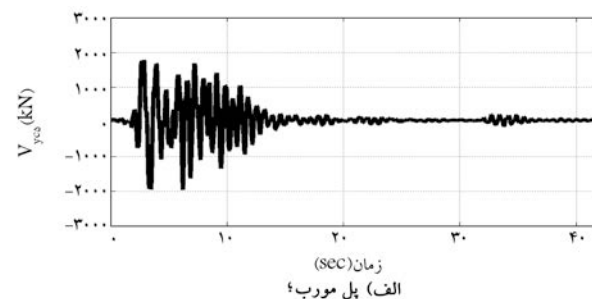


(الف) پل مورب؛

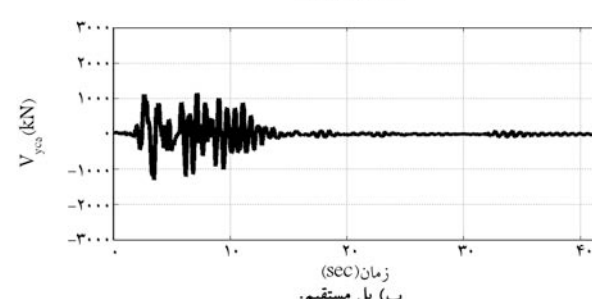


(ب) پل مستقیم.

شکل ۱۴. نیروی برشی ستون شماره ۵ پایه دوم در راستای طولی در پل مورب و مستقیم.



(الف) پل مورب؛

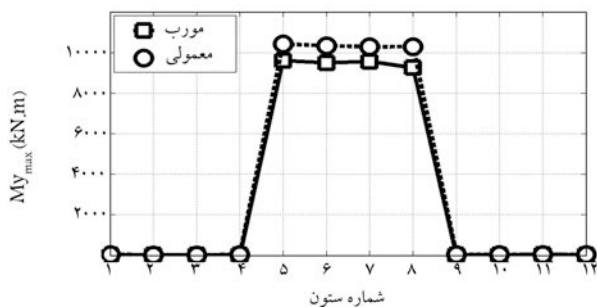


(ب) پل مستقیم.

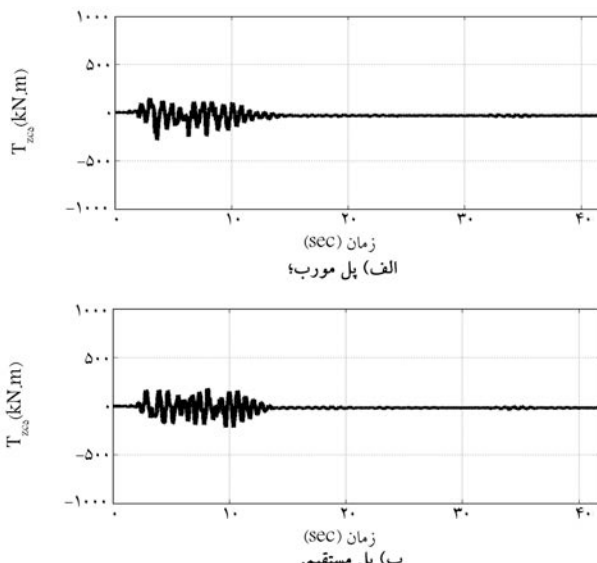
شکل ۱۵. نیروی برشی ستون شماره ۵ پایه دوم در راستای عرضی در پل مورب و مستقیم.

۵.۲.۴. لنگر پیچشی پای سطون ها

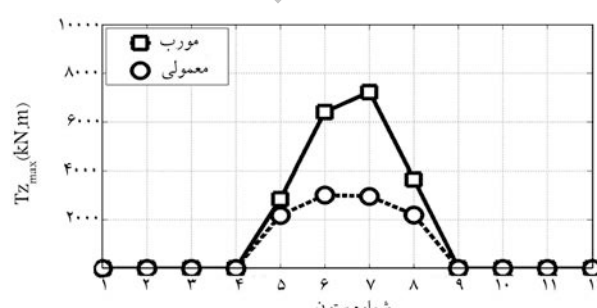
با توجه به شرایط تکیه گاهی سطون ها در پایه های اول، دوم و سوم -- که قبلاً توضیح داده شد -- کل لنگر پیچشی انتقال یافته به پایه ها ناشی از چرخش عرش، توسط پایه های میانی تحمل می شود و از این رو این پایه از نظر لنگر پیچشی نیز شرایطی بحرانی را تجربه کرده است. در شکل ۲۲ منحنی تاریخچه زمانی لنگر پیچشی پای سطون شماره ۵ در پایه دوم در پل مورب و مستقیم برای نمونه نشان داده شده است. همچنین مقادیر بیشینه لنگر پیچشی برای هر دو نوع پل مورب و مستقیم در شکل ۲۳ مقایسه شده است. با توجه به شکل ۲۳ و مقایسه بیشینه لنگر پیچشی



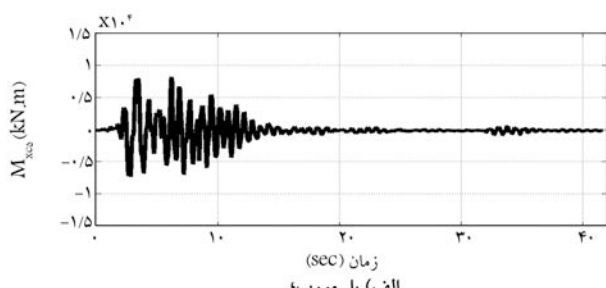
شکل ۲۱. بیشینه لنگر خمشی سطون ها حول محور در راستای عرضی در پل مورب و مستقیم.



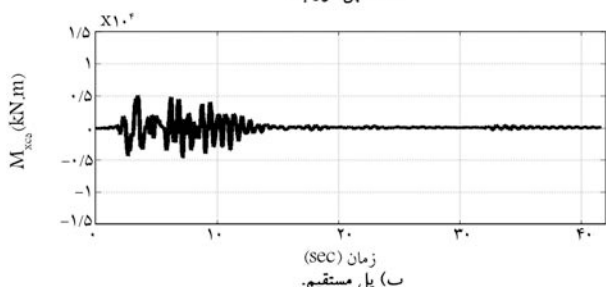
شکل ۲۲. لنگر پیچشی سطون شماره ۵ در پل مورب و مستقیم.



شکل ۲۳. بیشینه لنگر پیچشی سطون ها در پل مورب و مستقیم.

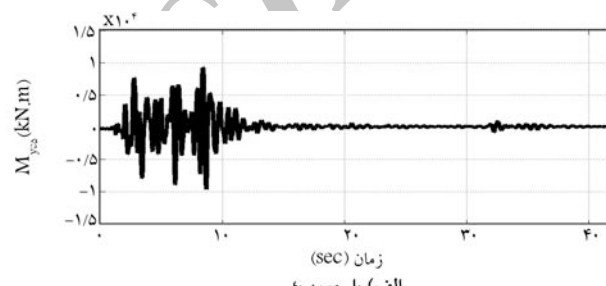


(الف) پل مورب؛

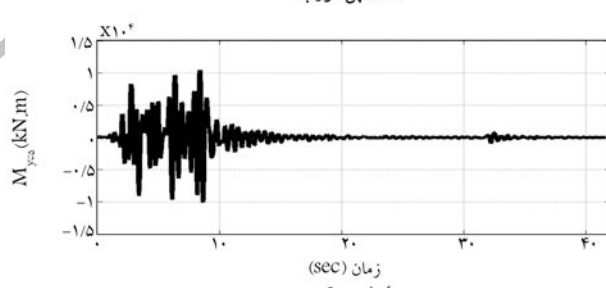


(ب) پل مستقیم.

شکل ۱۸. لنگر خمشی سطون شماره ۵ پایه دوم حول محور در راستای طولی در پل مورب و مستقیم.

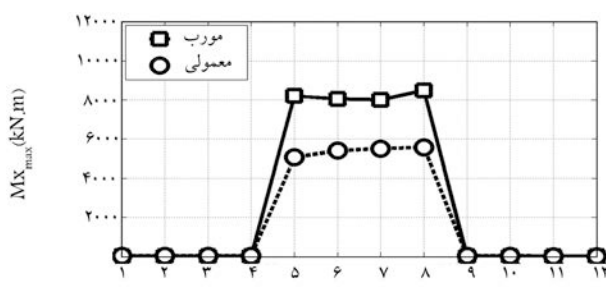


(الف) پل مورب؛



(ب) پل مستقیم.

شکل ۱۹. لنگر خمشی سطون شماره ۵ پایه دوم حول محور در راستای عرضی در پل مورب و مستقیم.



شکل ۲۰. بیشینه لنگر خمشی سطون ها حول محور در راستای طولی در پل مورب و مستقیم.

است که در مود اول، حرکت چرخشی بر هر دو پل حاکم بوده و در مودهای دوم و سوم در پل مورب حرکت‌های انتقالی همیشه همراه با خمش داخل صفحه حاکم است. اما در پل مستقیم متناظر، حرکت‌های انتقالی عرضی و طولی به طور مجزا و به ترتیب در هریک از این دو مود همراه با خمش داخل صفحه مشاهده شد. در نهایت چنین نتیجه‌گیری شد که پریود مودهای پل مورب بیشتر از پل مستقیم متناظر با آن بوده است.

در گام بعدی تحلیل تاریخچه زمانی غیرخطی تحت اثر سه مؤلفه‌ی طولی، عرضی و قائم زمین لرزه صورت گرفت و بیشینه جابه‌جایی عرضی عرشه‌ی پل مورب در گوشش شماره ۲ مدل به دست آمد؛ ملاحظه شد که مقدار آن با مقدار ذکر شده در مراجع به خوبی مطابقت دارد. همچنین مشاهده شد که نیروی محوری ستون‌های پایه‌ی سوم در پل مورب که در زمین لرزه آسیب قابل توجهی متحمل شده‌اند بیش از مقادیر متناظر پل مستقیم بوده و به علت گیرداری پای ستون‌ها در پایه‌ی سوم نیروی برشی و لنگر خمشی برای پل مورب و مستقیم بیش از دو پایه‌ی دیگر بوده ولذا پایه‌ی میانی از نظر اثر نیروی برشی و لنگر خمشی نیز مستعد خواهد بوده است. همچنین مشاهده شد که لنگر یچشی پای ستون‌های پایه‌ی سوم در پل مورب بیش از پل مستقیم متناظر بوده است. با توجه به پاسخ‌های به دست آمده از پل مورب و مستقیم چنین نتیجه‌گیری می‌شود که در ستون‌های پایه‌ی سوم هم در پل مورب و هم در پل مستقیم نیروهای محوری و برشی و لنگرهای خمشی و پیچشی نسبت به ستون‌های پایه‌ی دوم و چهارم بیشتر بوده اما در پل مورب به علت انحراف راستای پایه‌ها و نحوه‌ی توزیع بار ثقلی عرشه به علت شکل هندسی خاص عرشه، نسبت به راستای طولی عرشه تأثیر نیروی محوری و لنگر یچشی بیشتر بوده و اثر توأم آنها با لنگر خمشی و نیروی برشی باعث آسیب دیدن ستون‌های پایه‌ی سوم شده است.

پای ستون‌های پایه‌ی دوم در پل مورب و مستقیم، به خوبی تأثیر تورب پل بر افزایش لنگر یچشی پای ستون‌ها را می‌توان مشاهده کرد. در این شکل مشاهده می‌شود که مقدار بیشینه لنگر یچشی در پل مورب بیشتر از پل مستقیم است به طوری که نسبت آن برای ستون‌های شماره ۵، ۶، ۷ و ۸ در پل مورب به پل مستقیم به ترتیب ۱/۳، ۲/۱، ۲/۴ و ۱/۶ بوده است.

۵. نتیجه‌گیری

هدف این نوشتار بررسی رفتار لرزه‌ی پل‌های مورب بوده است. بدین منظور به طور موردنی به مطالعه‌ی پاسخ لرزه‌ی پل مورب جنوب شرقی زیرگذر بلوار فوت‌هیل که در زمین لرزه‌ی سان فراناندو (۹ فوریه ۱۹۷۱) خسارت زیادی را متحمل شده پرداخته شد و تأثیر تورب راستای پایه‌های آن با مقایسه‌ی پاسخ این پل با پل مستقیم متناظر با آن مورب بررسی قرار گرفت. مدل عددی سه‌بعدی از این پل در نرم‌افزار OpenSees تهیه شده که در آن عرشه‌ی پل توسط دو عدد تیر طولی معادل سازی شده است. این مدل برخلاف مدل شاخه‌ی تکبر این قابلیت را دارد که مود حرکت صلب عرشه -- یعنی انتقال همراه با چرخش -- را بهتر نشان دهد. فرضیات مهم مورد استفاده در این مدل سازی غلتکی بودن تکیگاه‌های کناری در کوله‌ها، بسته بودن چرخش عرشه حول محور طولی در این تکیگاه‌ها، عدم تأثیر دیوارهای حایل کناری، و مفصلی بودن پای ستون‌ها در پایه‌های اول و سوم و گیرداری آنها در پایه‌ی دوم است. در این مدل سازی ستون‌ها با المان‌های غیرخطی و تیرهای طولی معادل عرشه، و تیرهای سرستون با المان‌های کشسان مدل شده‌اند. نتایج تحلیل ارتعاش آزاد حاکی از آن

پابنوشت

1. single-beam stick model
2. dual-beam stick model
3. open system for earthquake engineering simulation (opensees)
4. skewed bridge
5. straight bridge
6. retaining wall
7. box girder
8. Mander
9. cap beam
10. elastic beam column
11. displacement based beam column
12. Pacoima
13. acute angle
14. obtuse angle

منابع

1. Jennings, P.C., et al., *Engineering Features of the San Fernando Earthquake of February 9, 1971*, Report No. EERL 71-02, Pasadena, California (1971).
2. Mitchell, D.; Bruneau, M.; Williams, M.; Anderson, D.; Saatcioglu, M. and Sexsmith, R. "Performance of bridges
- in the 1994 Northridge earthquake", *Can. J. Civ. Eng.*, **22**, pp. 415-427 (1995).
3. Ghobarah, A.A. and Tso, W.K. "Seismic analysis of skewed highway bridges with intermediate supports", *Journal of Earthquake Engineering and Structural Dynamics*, **2**, pp. 235-248 (1974).
4. Maragakis, E.A. and Jennings P.C. "Analytical models for the rigid body motions of skew bridges", *Journal of Earthquake Engineering and Structural Dynamics*, **15**(8), pp. 923-944 (1987).
5. Wakefield, R.R.; Nazmy, A.S. and Billington, D.P. "Analysis of seismic failure in skew RC bridge", *Journal of Structural Engineering*, **117**(3), pp. 972-986 (1991).
6. Meng, J.Y. and Lui, E.M. "Seismic analysis and assessment of a skew highway bridge", *Journal of Engineering Structure*, **22**(3), pp. 1433-1452 (2000).
7. Meng, J.Y. and Lui, E.M. "Refined stick model for dynamic analysis of skew highway bridges", *Journal of Bridge Engineering*, **7**(3), pp. 184-194 (2002).
8. Meng, J.Y.; Ghasemi, H. and Lui, E.M. "Analytical and experimental study of a skew bridge model", *Journal of Engineering Structure*, **22**, pp. 1127-1142 (2004).

9. Maragakis, E.A. "A model for the rigid body motions of skewed bridge", Report No. EERL 85-02, Pasadena, California (1985).
10. Sadrossadat Zadeh, M. and Saiidi, M.S., *Pre-test Analytical Studies of NEESR-SG 4-Span Bridge Model Using OpenSees*, Center for Civil Engineering Earthquake Research, Department of Civil Engineering, University of Nevada, Reno, Nevada, Report No.CCEER-07-03 (February 2007).
11. Mazzoni, S., et al., *Open System for Earthquake Engineering Simulation User Command-Language Manual*, Pacific Earthquake Engineering Research Center, University of California, Berkeley, OpenSees version 1.7.5 (September 2006).
12. SAP 2000, "Technical note, material stress-strain curves", Computers and Structures, INC, Berkeley, California.
13. PEER Strong Motion Database Introduction, <http://peer.berkeley.edu/smcat/>.
14. Chadwell, C. "Graphical post processor for the OpenSees analysis platform", version 1.3.0 (September 2006).
15. Kalantari, A. and Amjadian, M., *An Approximate Method for Dynamic Analysis of Highway Skewed Bridges with Continuous Deck*, 9th US National and 10th Canadian Conference on Earthquake Engineering, Toronto, pp. 25-29 (July 2010).
۱۶. امجدیان، محسن «رقتار لرزه‌یی پل‌های مورب بزرگراهی»، سمینار کارشناسی ارشد، پژوهشگاه بین‌المللی زلزله‌شناسی و مهندسی زلزله (۱۳۸۷).
۱۷. امجدیان، محسن «کشتل رقتار لرزه‌یی یک پل مورب با استفاده از روش‌های غیرفعال و نیمه‌فعال»، پایان‌نامه‌ی کارشناسی ارشد، پژوهشگاه بین‌المللی زلزله‌شناسی و مهندسی زلزله (۱۳۸۹).

Archive of SID